

Uma Implementação Distribuída em Névoa do Algoritmo de Detecção de Novidade em Fluxos de Dados MINAS

Luís Henrique Puhl de Souza

05 Julho 2021

Universidade Federal de São Carlos
Centro de Ciências Exatas e de Tecnologia
Departamento de Computação
Programa de Pós-Graduação em Ciência da Computação

Orientador: *Prof. Dr. Hermes Senger*

Obrigado CNPq pelo suporte financeiro (contrato 167345/2018-4).

1. Introdução
2. Fundamentos
3. Estado da Arte e Trabalhos Relacionados
4. Proposta
5. Resultados
6. Conclusão

Introdução

- Crescimento do número de dispositivos IoT e riscos associados;
 - Heterogeneidade de dispositivos;
 - Falta de atualizações de *software*;
 - Exemplo: *Botnet* mirai, infectando cameras e roteadores, gerou 620 Gb/s (KAMBOURAKIS; KOLIAS; STAVROU, 2017).
- Detecção de intrusão em redes:
 - detecção por assinatura *versus* anomalia;
 - ambiente de névoa e redes IoT.
- Um sistema para detecção de intrusão em Redes IoT implementando em névoa;
- A hipótese do trabalho é que o algoritmo MINAS pode ser distribuído em névoa reduzindo a latência sem redução na qualidade de classificação.

Fundamentos

- Fluxo de Dados e Métodos Detecção de Novidade;
- Plataformas de processamento distribuído de fluxos;
- Ambientes de computação Distribuída.

Definição de Fluxo de Dados

Um fluxo de dados (*Data Stream*) é uma sequência massiva possivelmente ilimitada de exemplos multi-dimensionais $x_1, x_2, \dots, x_n, \dots$ recebidos em instantes associados $t_1, t_2, \dots, t_n, \dots$ (AGGARWAL et al., 2003).

Métodos Detecção de Novidade

Métodos Detecção de Novidade (*Novelty Detection*) lidam com o reconhecimento e classificação de exemplos em padrões que diferem de padrões anteriores (GAMA; RODRIGUES, 2010).

- Evolução de Conceito (*Concept Evolution*): surgimento de um conceito durante o fluxo;
- Mudança de Conceito (*Concept Drift*, deriva ou desvio): modificação da distribuição de um padrão conhecido. A modificação pode ser repentina, incremental ou recorrente;
- Ruído e *Outliers*: que não pertencem a um conceito ou pertencem a um conceito porém estão fora da distribuição conhecida.

- Modelo de aprendizado *Offline-Online*;
- Transformação dos dados analisados para o espaço \mathbb{R}^d ;
- Modelo de classificação com *Clusters*;
- Função de classificação baseada em distância euclideana;
- Algoritmo de agrupamento para identificação de novos padrões;
- Classificação de novos padrões entre recorrência, extensão e novidade;

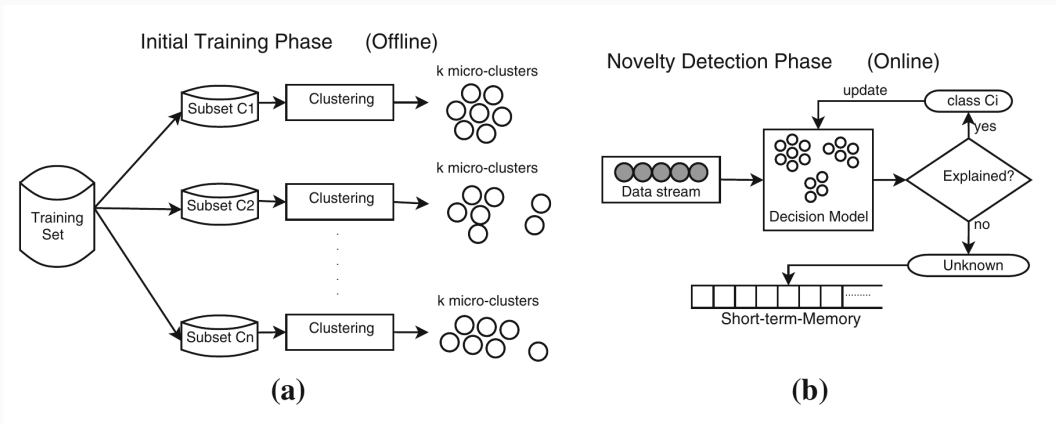


Figura 1: Visão geral do algoritmo MINAS com fases *Offline* (a) e *Online* (b).

Fonte: Faria, Carvalho e Gama (2016).

```
1 Função MinasOnline(Modelo, fluxoEntrada, fluxoSaida, janelaLimpeza, gatilhoDetecçãoNov):
2   Desconhecidos  $\leftarrow \emptyset$ ; ModeloAntigo  $\leftarrow \emptyset$ ; últimaLimpeza  $\leftarrow 0$ ; proximaNovidade  $\leftarrow 0$ ;
3   para cada exemploi  $\in$  fluxoEntrada faça
4     maisPróximo  $\leftarrow$  clusterMaisPróximo (exemplo, Modelo);
5     se maisPróximo.distância < maisPróximo.cluster.raio então
6       exemplo.rótulo  $\leftarrow$  maisPróximo.cluster.rótulo;
7       maisPróximo.cluster.últimoUso  $\leftarrow i$ ;
8     senão
9       exemplo.rótulo  $\leftarrow$  “desconhecido”;
10    Desconhecidos  $\leftarrow$  Desconhecidos  $\cup$  exemplo;
11    se  $| \text{Desconhecidos} | \geq \text{gatilhoDetecçãoNov}$  então
12      Modelo  $\leftarrow$  Modelo  $\cup$  DetecçãoNovidade (Modelo  $\cup$  ModeloAntigo, *Desconhecidos);
13    se  $i > (\text{últimaLimpeza} + \text{janelaLimpeza})$  então
14      Modelo  $\leftarrow$  moveModeloAntigo (Modelo, *ModeloAntigo, últimaLimpeza);
15      Desconhecidos  $\leftarrow$  removeExemplosAntigos (Desconhecidos, últimaLimpeza);
16      últimaLimpeza  $\leftarrow i$ ;
17    fluxoSaida.adicione(exemplo);
```

Algoritmo 1: Interpretação do algoritmo MINAS *online* (FARIA; CARVALHO; GAMA, 2016).

Fundamentos - Processamento Distribuído de Fluxos

- Arquiteturas *Lambda* e *Kappa*;
- Mineração de Dados:
 - *MapReduce* e *Apache Hadoop*;
 - *Apache Spark* com *Resilient Distributed Dataset - RDD*;
- Mineração de Fluxo de Dados:
 - *Apache Spark Streaming* com estratégia de *micro-batching*;
 - *Apache Storm*;
 - *Apache Flink*;
- Não especializadas em fluxo de dados:
 - Não-plataforma (construção dos mecanismos de envio e recebimento);
 - Interface de Troca de Mensagens - *MPI*;

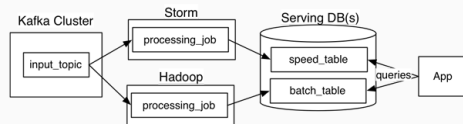


Figura 2: Arquitetura *Lambda* com Kafka, Storm, Hadoop, SGBD tradicional e aplicação consumidora.

Fonte: Kreps (2014).

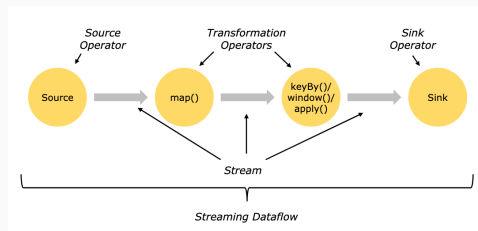


Figura 3: Arquitetura Apache Flink.

Fonte: Apache Flink (2020).

- Localidade de dados;
 - Menor número de *page-faults* mantendo o Modelo em cache;
- Memória distribuída e troca de mensagens;
- Padrão MPI - *Message Passing Interface*;
 - Padrão MPI-4.0 aprovado pelo MPI Forum em 9 de Junho de 2021;
 - Bibliotecas bem estabelecidas;
 - Pares de operações *send/receive*, entre outras operações;
 - Execução gerenciada (*Runtime Environment*, `mpirun`);
- Técnica SPMD - *Single Program Multiple Data*;
 - Construção e execução simplificadas;

Ambientes de computação Distribuída

- Computação em Nuvem (*Cloud Computing*) é um modelo que permite acesso conveniente a recursos computacionais compartilhados (MELL; GRANCE, 2012)
- **Características Essenciais:**
 - Auto-serviço sob demanda,
 - Amplo acesso à rede,
 - Agrupamento de recursos,
 - Rápida elasticidade,
 - Serviço mensurado;
- **Modelo de Serviço:**
 - *Software* (SaaS),
 - Plataforma (PaaS),
 - Infraestrutura (IaaS),
- **Implementações:**
 - Nuvem privada,
 - Nuvem comunitária,
 - Nuvem pública,
 - Nuvem híbrida.

Ambientes de computação Distribuída

- Computação de Borda (*Edge Computing*):
Refere-se a qualquer recurso computacional ou de rede entre os dispositivos de borda e centro de dados hospedados em nuvem (SHI et al., 2016).
- Computação em Névoa (*Fog Computing*)
Uma arquitetura horizontal a nível de sistema que distribui funções de computação, armazenamento, controle e rede próximos aos usuários no espaço contínuo nuvem-coisa (IEEE Communications Society, 2018). **Características:**
 - Mobilidade,
 - Heterogeneidade,
 - Baixa Latência,
 - Distribuição geográfica,
 - Alto número de nós,
 - Interoperabilidade e federação,
 - Uso de fluxo de dados e aplicações em tempo real.

Estado da Arte e Trabalhos Relacionados

Sistemas de detecção de intrusão em redes

- Ferramenta BigFlow (VIEGAS et al., 2019):
 - + Integração da extração dos descritores de fluxo à emissão de alarmes;
 - + Capacidade de tratamento de grandes volumes;
 - Atualização semanal com avaliação de um especialista;
 - Execução somente em nuvem.
- Ferramenta CATRACA (LOPEZ, 2018; SANZ; LOPEZ, 2018):
 - + Divisão em camadas alocadas em nuvem e névoa;
 - + Modelo de decisão baseado em árvore de decisão;
 - Extração dos descritores de fluxo é feita em névoa, classificação e detecção é feita em nuvem.
- Arquitetura IDSA-IoT (CASSALES et al., 2019):
 - + Avaliação do algoritmo MINAS, ECSMiner e AnyNovel;
 - + Distribuição das tarefas em nuvem e névoa focada em IoT;
 - Implementação e detalhamento da arquitetura em aberto.

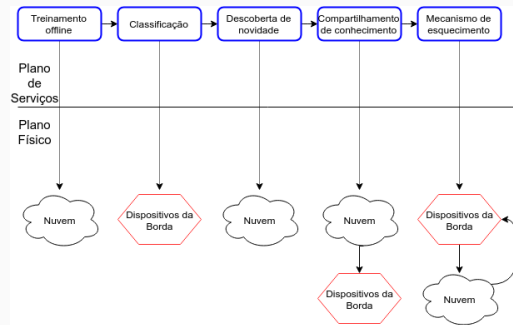
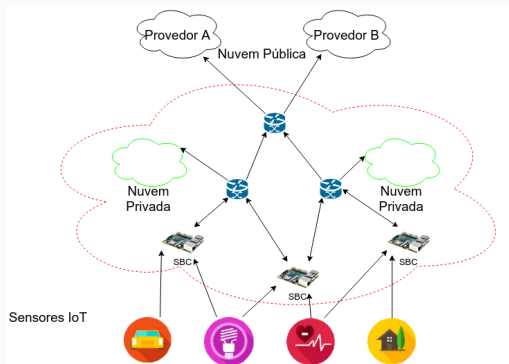


Figura 4: Distribuição de serviços da arquitetura IDSA-IoT.

Fonte: Cassales et al. (2019).

Proposta

Pergunta de Pesquisa

- É viável paralelizar e distribuir o algoritmo MINAS seguindo a arquitetura IDSA-IoT?
- Quais são os efeitos na qualidade de classificação paralelizar e distribuir o algoritmo MINAS?

Proposta da Pesquisa

- Implementar a distribuição do algoritmo MINAS em nuvem e névoa conforme arquitetura IDSA-IoT;
- Paralelizar o método de classificação do algoritmo MINAS.

Método

- Plataforma de processamento distribuído;
- Estratégias de implementação da arquitetura IDSA-IoT;
- Experimentação com a distribuição do algoritmo MINAS em ambientes;
- Métricas de qualidade de classificação para validação da implementação;
- Métricas de escalabilidade.

Primeira Implementação com *Python* e *Apache Kafka*

- *Python* é acessível e fornece bibliotecas diversas;
- *Apache Kafka* é um sistema de mensagens distribuído;
 - Interface de programação com cliente produtor e consumidor;
 - Mensagens organizadas em tópicos que são distribuídos em partições;
- A hipótese de que a carga seria distribuída entre os consumidores, uma vez que o consumidor pode selecionar uma partição para leitura;
- Em experimento com um produtor, 8 partições e 8 consumidores, observou-se que um consumidor processava a maior parte das mensagens, poucos consumidores recebiam algumas mensagens e a maioria dos consumidores não recebia mensagem alguma.

Segunda Implementação com *Apache Flink*

- Implementação escrita em Scala ou Java;
- Processamento de fluxos *Stateful*;
- Falta de bibliotecas que distribuam algoritmos base como *K-means*;
- Gerenciador de trabalhos (*job manager*) e gerenciador de tarefas (*task manager*) ocupam mais de 1 GB em execuções consecutivas, portanto não é confiável para dispositivos pequenos.

Terceira Implementação com MPI

- Implementado em linguagem C, OpenMPI 4.0.4, seguindo a técnica SPMD;
- Dividido em 2 módulos e 4 tarefas.
- `mpirun` cria processos, o processo de 0 executa o módulo raiz e os demais processos executam o módulo folha;
- Módulo raiz, com as tarefas Fonte e Detector, trata dos fluxos de entrada e saída além de gerenciar o conjunto de desconhecidos e a detecção de novidade;
- Módulo folha, com as tarefas Classificador e Atualiza Modelo, trata da classificação de cada exemplo e manutenção do modelo local de cada instância.

Proposta - Implementação MPI

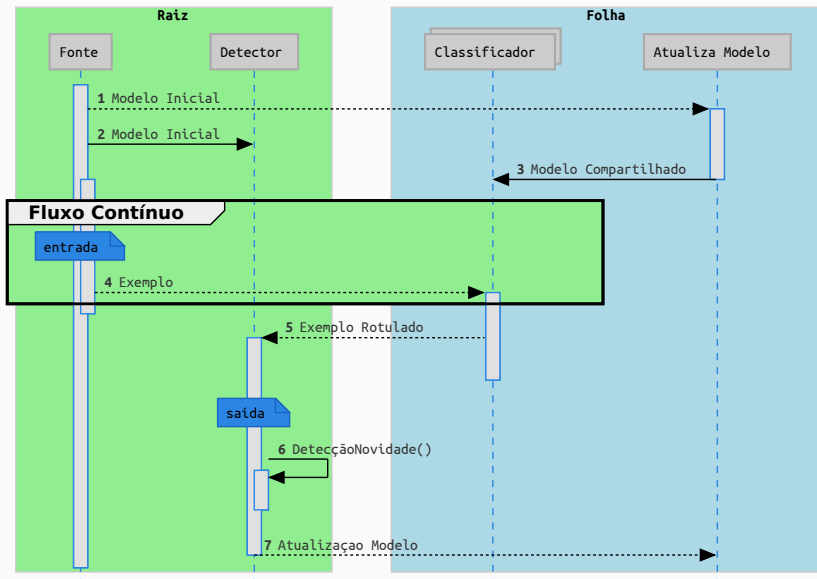


Figura 5: Arquitetura e fluxos de dados do M-FOG.

Fonte: O autor.

Métricas e Ambientes

- Métricas de qualidade de classificação:
 - Avaliação do fluxo de saída do classificador em uma matriz de confusão própria;
 - Taxa de desconhecidos, acurácia e erro por classe.

$$\mathbf{C} = \{c_1, c_2, \dots, c_m\} \quad (1)$$

$$\mathbf{Y} = \{y_1, y_2, \dots, y_k\} \quad (2)$$

$$\mathbf{L} = \{l_1, l_2, \dots, l_n\} = \mathbf{C}' \cup \{"-\"} \cup \mathbf{Y} \quad (3)$$

$$\mathbf{E}_x = (e_{ij}) \in \mathbb{N}^{m \times n} \quad (4)$$

$$A(l_j) = \begin{cases} \nexists & \text{se } l_j = "-"} \\ c_i & \text{se } \exists c_i = l_j : c_i \in \mathbf{C}' \\ c_i & \text{se } e_{ij} = \max\{e_{aj} : j \in [0, m]\} \end{cases} \quad (5)$$

$$UnkR_{x,i} = \frac{e_{ij} : l_j = "-"}{\sum_{j=1}^n e_{ij}} \quad (6)$$

$$tp_i = \sum_{j=1}^n e_{ij} \text{ se } l_j \neq "- \text{ e } A(l_j) = c_i \quad (7)$$

$$fn_i = \sum_{j=1}^n e_{ij} \text{ se } l_j \neq "- \text{ e } A(l_j) \neq c_i \quad (8)$$

$$acc_x = \frac{1}{m} \sum_{i=1}^m \frac{tp_i}{fn_i + tp_i} \quad (9)$$

$$err_x = \frac{1}{m} \sum_{i=1}^m \frac{fn_i}{fn_i + tp_i} \quad (10)$$

Métricas e Ambientes

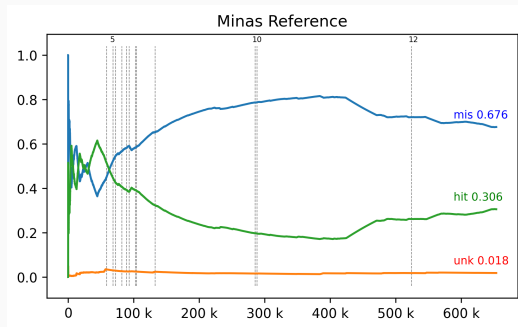
- Métricas de escalabilidade:
 - Número e tipo de processadores;
 - Uso de memória;
 - Tempo de processamento;
 - Latência, tempo entre a entrada e saída de cada descritor de fluxo.
- Ambientes de teste:
 - Computador Pessoal (para desenvolvimento);
 - Nevoa composta de SBC (*Single Board Computer*) ARM 4 núcleos;
 - Conjunto de dados para IDS, Kyoto 2006+, segmento dezembro de 2015 como estabelecido por Cassales et al. (2019).

Resultados

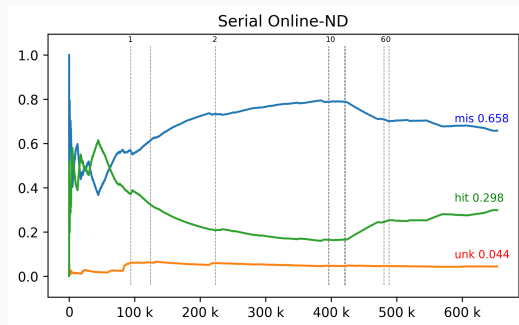
Tabela 1: Listagem dos principais experimentos.

Experimento	Programa	Características
<i>a-Referência</i>	MINAS referência 2013	Raio é a distância máxima.
<i>b-Sequencial</i>	MINAS sequencial para validação	Raio é o desvio padrão das distâncias; Modelo único; Remoção de desconhecidos mais agressivo.
<i>c-Paralelo</i>	M-FOG 1 nó, 4 processadores	Classificadores paralelos; Detecção de novidade assíncrona.
<i>d-Distribuído</i>	M-FOG 3 nós, 12 processadores	Mais processadores; Comunicação em rede.

Resultados - Validação



(a) Experimento *a-Referência*, implementação de referência do algoritmo MINAS.

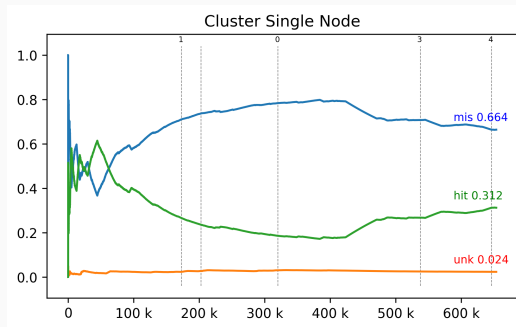


(b) Experimento *b-Sequencial*, M-FOG sequencial.

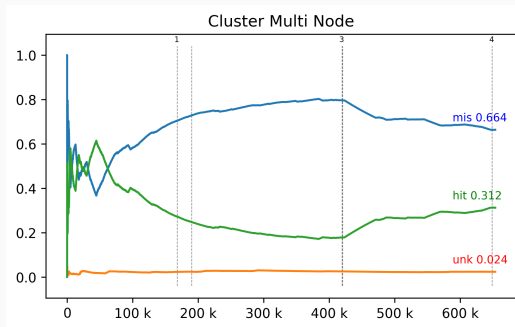
Figura 6: Visualização de fluxo do conjunto *Kyoto Dez.* 2015.

Fonte: O autor.

Resultados - Efeitos Distribuição



(a) Experimento *c-Paralelo*, M-FOG com 1 nó e 4 núcleos.



(b) Experimento *d-Distribuído*, M-FOG com 3 nós de 4 núcleos cada.

Figura 7: Visualização de fluxo do conjunto *Kyoto* Dez. 2015.

Fonte: O autor.

Resultados - Experimentos Principais

Tabela 2: Sumário das métricas extraídas dos experimentos principais.

Experimento Métrica	<i>a-Referência</i>	<i>Offline</i>	<i>b-Sequencial</i>	<i>c-Paralelo</i>	<i>d-Distribuído</i>
unk	0.018333		0.043717	0.023521	0.023718
hit	0.305618		0.298438	0.312416	0.312478
err	0.676049		0.657843	0.664061	0.663802
Novidades	12		9	5	5
Tempo (s)	2761.83	194.12	80.79	522.10	207.14
Sistema (s)	7.15	0.075	11.51	47.77	157.61
Decorrido (s)	2772.07	194.27	93.03	145.04	95.38
Latência (s)	$4.24 \cdot 10^{-3}$		$1.42 \cdot 10^{-4}$	$2.22 \cdot 10^{-4}$	$1.46 \cdot 10^{-4}$
Processadores	1	1	1	4	12
<i>Speedup</i>				0.6414092	0.9753617
Eficiência				0.1603523	0.0812801

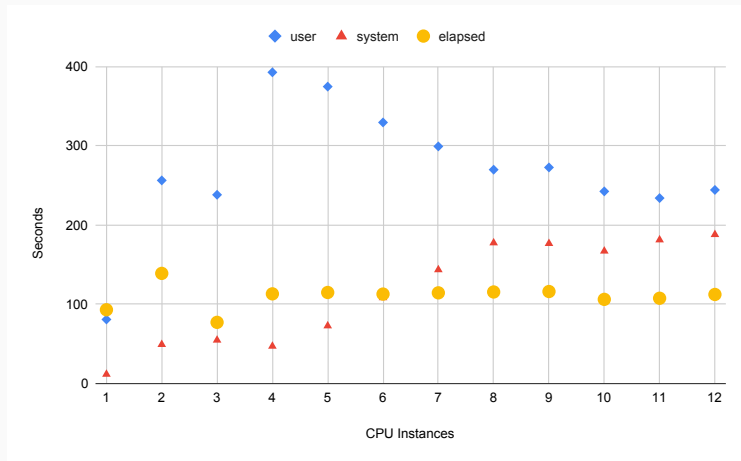
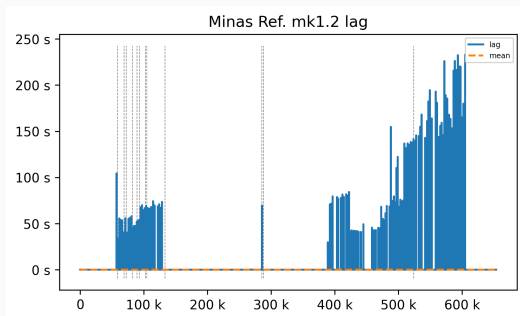


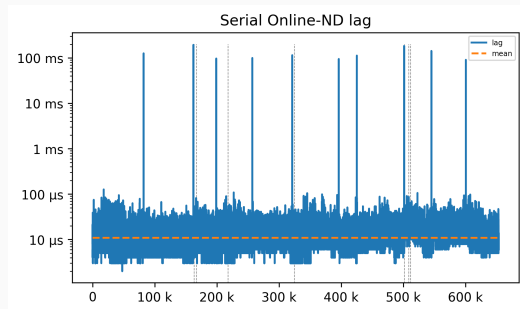
Figura 8: Métricas de tempo para execuções do M-FOG com variação no número de processadores.

Fonte: O autor.

Resultados - Latência (i)



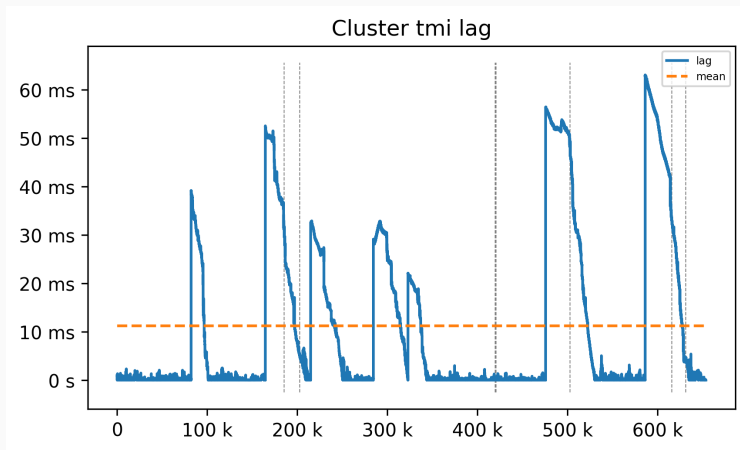
(a) Implementação de referência.



(b) Implementação sequencial.

Figura 9: Visualização de Latência.

Fonte: O autor.



(c) Implementação paralela.

Figura 9: Visualização de Latência.

Fonte: O autor.

Conclusão

Resultados obtidos:







- Algoritmo MINAS distribuído e a arquitetura IDSA-IoT implementada com modificações;
- Distribuição tem pequeno efeito sobre as métricas de qualidade;
 - Maior efeito é a redução de etiquetas novidade na versão distribuída;
- Resultados mostram que a implementação M-FOG não atinge escala pelo CCR e eficiência;


Trabalhos futuros:

- Da arquitetura: Distribuição do modelo entre redes distintas (conjuntos aditivos);
- Na implementação:
 - Outros algoritmos de agrupamento (CluStream);
 - Estratégia de otimização da distribuição de carga (micro ou mini batching);
 - Outras plataformas de processamento otimizadas para o ambiente névoa;
- No algoritmo:
 - Explorar distribuição espacial dos clusters (polígonos sem sobreposição, árvore de busca);
 - Algoritmo com modelo de tamanho fixo (máxima precisão com recursos disponíveis);


- Artigo aceito na seção geral da 21ª Conferência Internacional em Computação Científica e suas Aplicações (ICCSA 2021, <https://iccsa.org/>) em Cagliari, Itália, Setembro 13-16 2021 (PUHL et al., Em via de publicação);
- Código fonte com experimentos e métodos publicamente disponíveis em <https://github.com/luis-puhl/minas-flink>.


Obrigado!


-  AGGARWAL, C. C. et al. A framework for clustering evolving data streams. *Proceedings - 29th International Conference on Very Large Data Bases, VLDB 2003*, p. 81–92, 2003.
-  Apache Flink. *Apache Flink*. 2020. Disponível em: <https://flink.apache.org/>.
-  CASSALES, G. W. et al. Ilsa-iot: An intrusion detection system architecture for iot networks. In: *2019 IEEE Symposium on Computers and Communications (ISCC)*. [s.n.], 2019. p. 1–7. ISBN 978-1-7281-2999-0. ISSN 1530-1346. Disponível em: <https://ieeexplore.ieee.org/document/8969609/>.
-  FARIA, E. R. de; CARVALHO, A. C. Ponce de L. F.; GAMA, J. Minas: multiclass learning algorithm for novelty detection in data streams. *Data Mining and Knowledge Discovery*, v. 30, n. 3, p. 640–680, May 2016. ISSN 1573-756X. Disponível em: <https://doi.org/10.1007/s10618-015-0433-y>.
-  GAMA, J.; RODRIGUES, P. P. *Knowledge Discovery from Data Streams*. [S.l.]: Chapman and Hall/CRC, 2010. ISBN 9781439826119.
-  IEEE Communications Society. *IEEE Std 1934-2018: IEEE Standard for Adoption of OpenFog Reference Architecture for Fog Computing*. IEEE, 2018. 176 p. ISBN 9781504450171. Disponível em: <https://ieeexplore.ieee.org/document/8423800>.


 KAMBOURAKIS, G.; KOLIAS, C.; STAVROU, A. The Mirai botnet and the IoT Zombie Armies. In: *MILCOM 2017 - 2017 IEEE Military Communications Conference (MILCOM)*. IEEE, 2017. v. 2017-Octob, p. 267–272. ISBN 978-1-5386-0595-0. Disponível em: <http://ieeexplore.ieee.org/document/8170867/>.


 KREPS, J. *Questioning the Lambda Architecture* – O'Reilly. 2014. 10 p. Disponível em: <https://www.oreilly.com/radar/questioning-the-lambda-architecture/>.


 LOPEZ, M. E. A. *A monitoring and threat detection system using stream processing as a virtual function for Big Data*. Tese (Theses) — Sorbonne Université ; Universidade federal do Rio de Janeiro, Jun 2018. Disponível em: <https://tel.archives-ouvertes.fr/tel-02111017>.

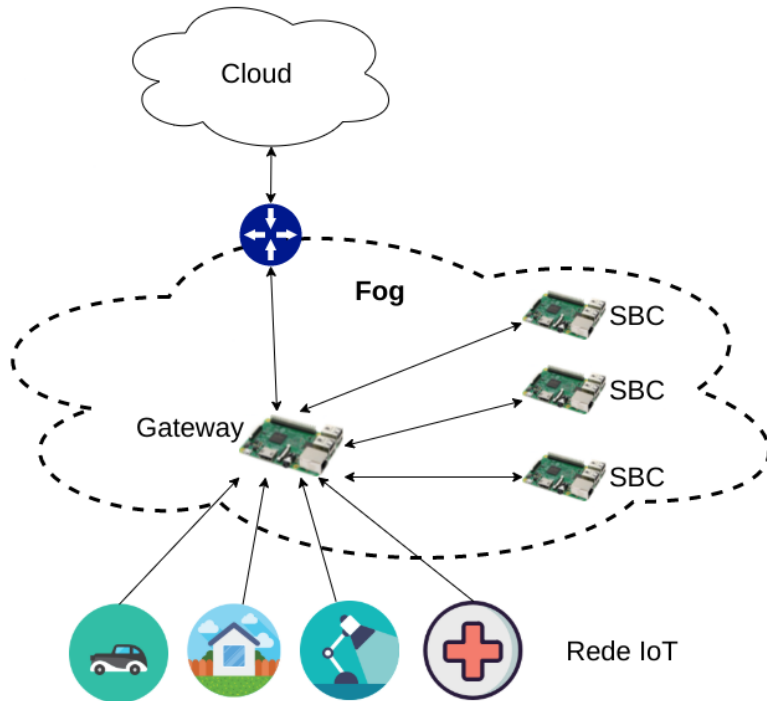
 MELL, P.; GRANCE, T. The NIST definition of cloud computing: Recommendations of the National Institute of Standards and Technology. In: NATIONAL INSTITUTE OF STANDARDS AND TECHNOLOGY. *Public Cloud Computing: Security and Privacy Guidelines*. National Institute of Standards and Technology, 2012. p. 97–101. ISBN 9781620819821. Disponível em: <http://faculty.winthrop.edu/domanm/csci411/Handouts/NIST.pdf>.

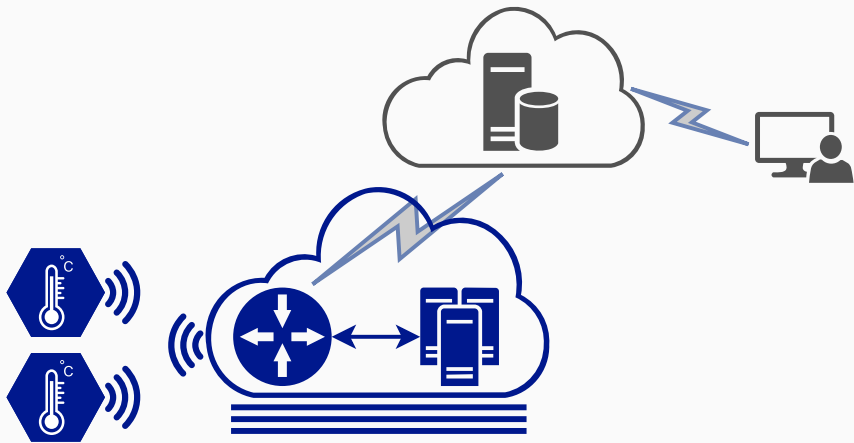
 PUHL, L. et al. Distributed novelty detection at the edge for iot network security. In: *The 21st International Conference on Computational Science and its Applications – ICCSA 2021*. [S.l.]: Springer International Publishing, Em via de publicação.

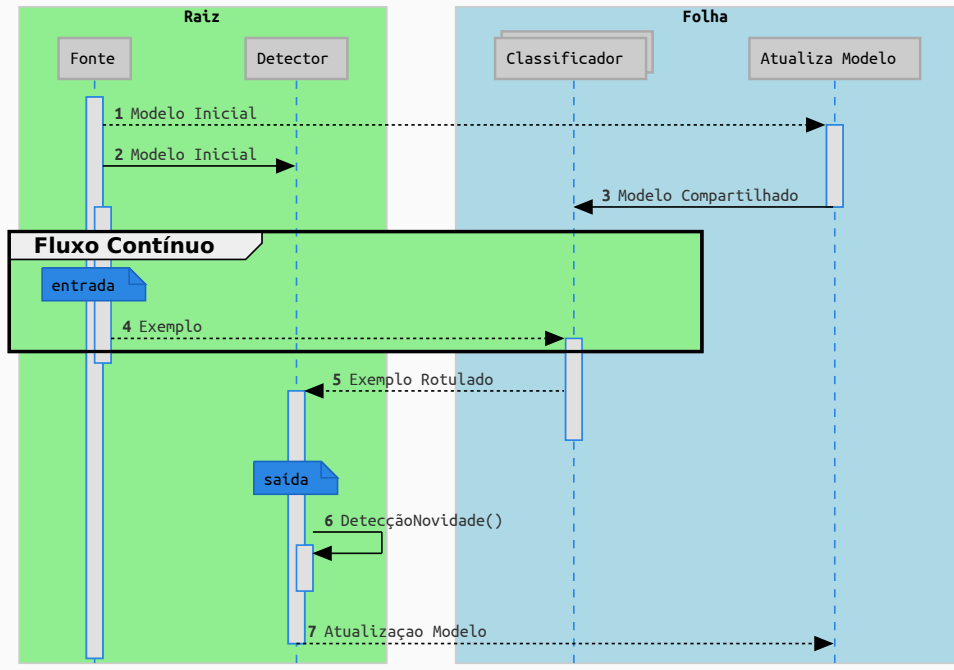
 SANZ, I. J.; LOPEZ, M. A. Um sistema de detecção de ameaças distribuídas de rede baseado em aprendizagem por grafos. In: *Anais do XXXVI Simpósio Brasileiro de Redes de Computadores e Sistemas Distribuídos*. Porto Alegre, RS, Brasil: SBC, 2018. ISSN 2177-9384. Disponível em: <https://sol.sbc.org.br/index.php/sbrc/article/view/2487>.

 SHI, W. et al. Edge computing: Vision and challenges. *IEEE Internet of Things Journal*, Institute of Electrical and Electronics Engineers Inc., v. 3, n. 5, p. 637–646, oct 2016. ISSN 23274662. Disponível em: <https://ieeexplore.ieee.org/abstract/document/7488250>.

 VIEGAS, E. et al. Bigflow: Real-time and reliable anomaly-based intrusion detection for high-speed networks. *Future Generation Computer Systems*, Elsevier, v. 93, p. 473 – 485, 2019. ISSN 0167-739X. Disponível em: <http://www.sciencedirect.com/science/article/pii/S0167739X18307635>.







Minas Reference

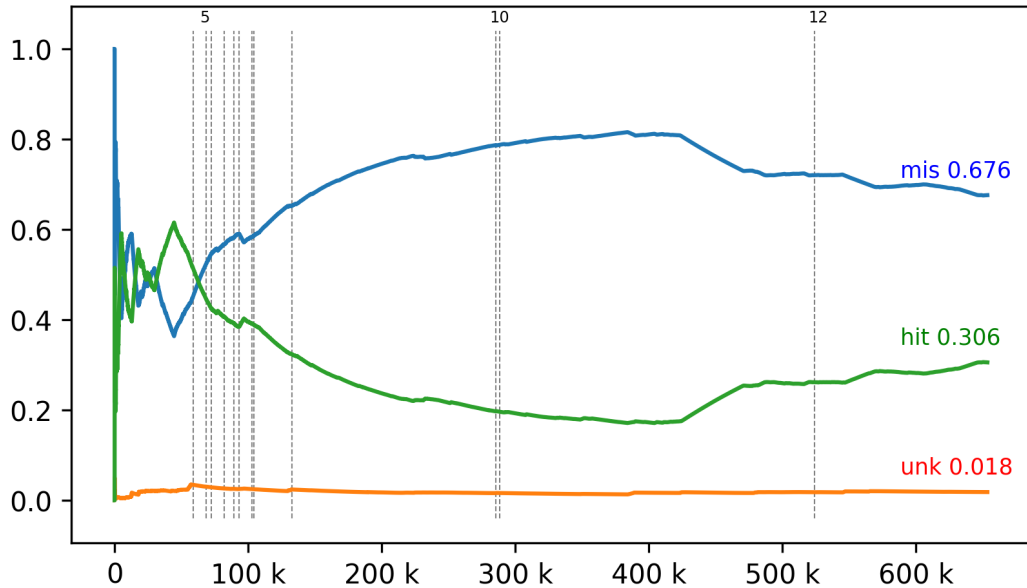


Tabela 3: Experimento *a-Referência*, Matriz de confusão, *Kyoto* Dez. 2015.

Rótulos	-	N	1	2	3	4	5	6	7	8	9	10	11	12
Classes														
A	3 774	438 750	123	145	368	8	52	165	1	1 046	161	2 489	71	26
N	8 206	193 030	0	79	44	0	0	0	229	181	154	4 066	289	0
Associação	-	N	A	A	A	A	A	A	N	A	A	N	N	A
Hits (<i>tp</i>)	0	193 030	123	145	368	8	52	165	229	1 046	161	4 066	289	26

Serial Online-ND

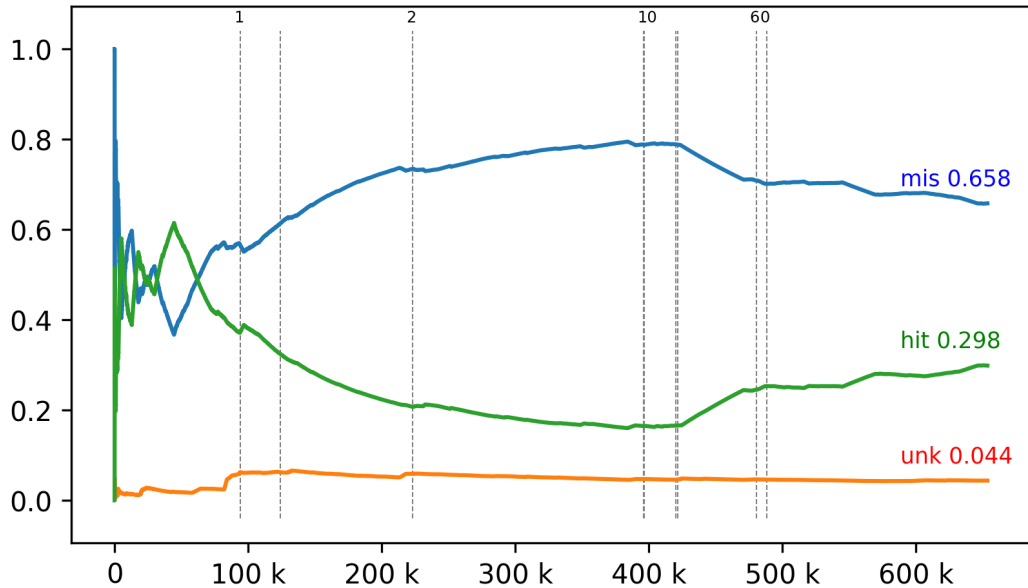


Tabela 4: Experimento *b-Sequencial*, Matriz de confusão, *Kyoto* Dez. 2015.

Rótulos	-	N	0	1	2	4	5	6	7	8	10
Classes											
A	16 086	429 765	94	995	104	0	23	3	29	46	34
N	12 481	193 642	3	94	0	47	0	0	0	11	0
Associação	-	N	A	A	A	N	A	A	A	A	A
Hits (<i>tp</i>)	0	193 642	94	995	104	47	23	3	29	46	34

Cluster Single Node

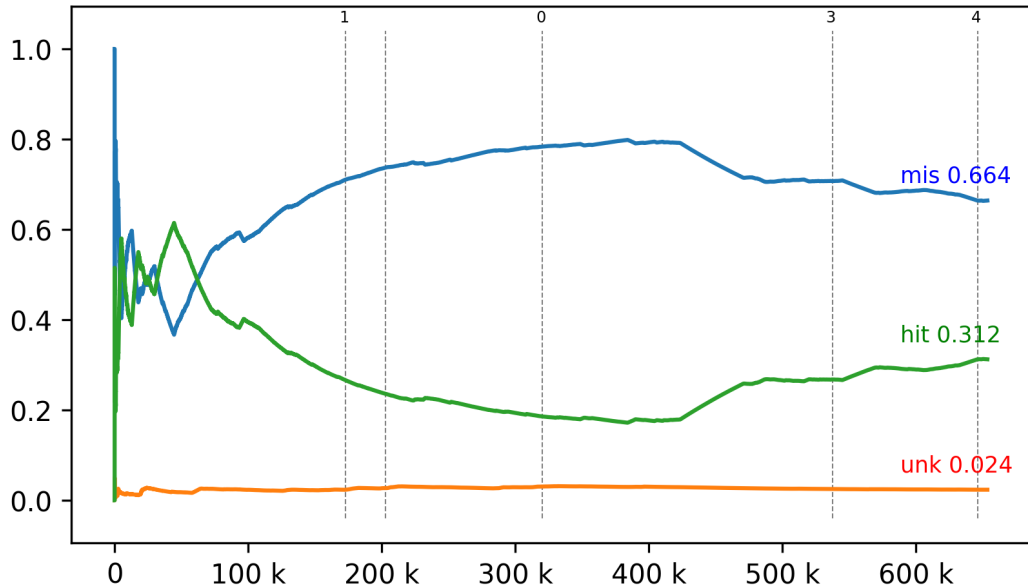


Tabela 5: Experimento *c-Paralelo*, M-FOG com 1 nó e 4 núcleos, Matriz de confusão, *Kyoto Dez.* 2015.

Rótulos	-	N	0	1	2	3	4
Classes							
A	12 282	433 797	147	952	0	0	1
N	3 088	203 019	40	99	27	5	0
Associação	-	N	A	A	N	N	A
Hits (<i>tp</i>)	0	203 019	147	952	27	5	1

Cluster Multi Node

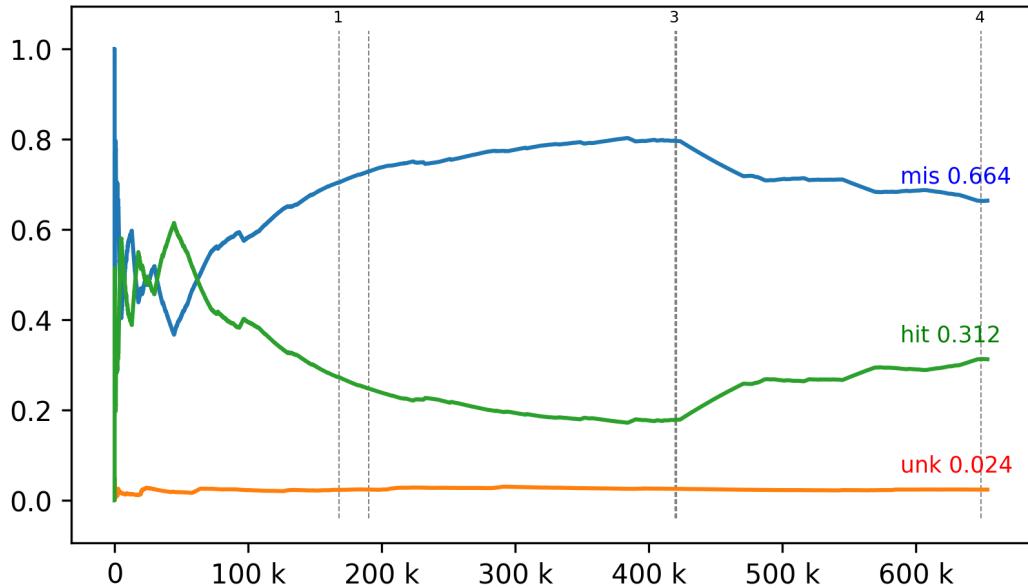
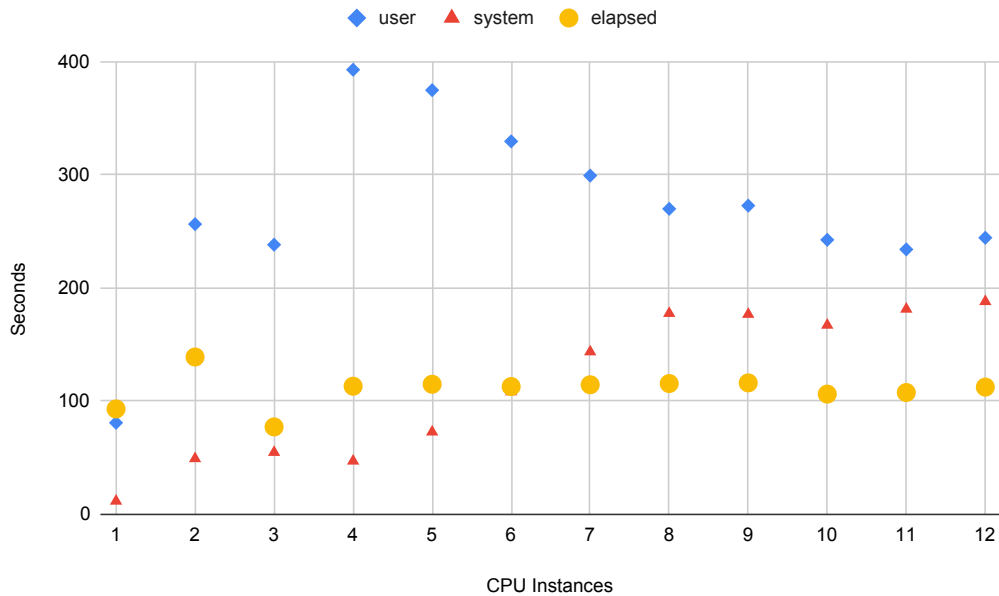
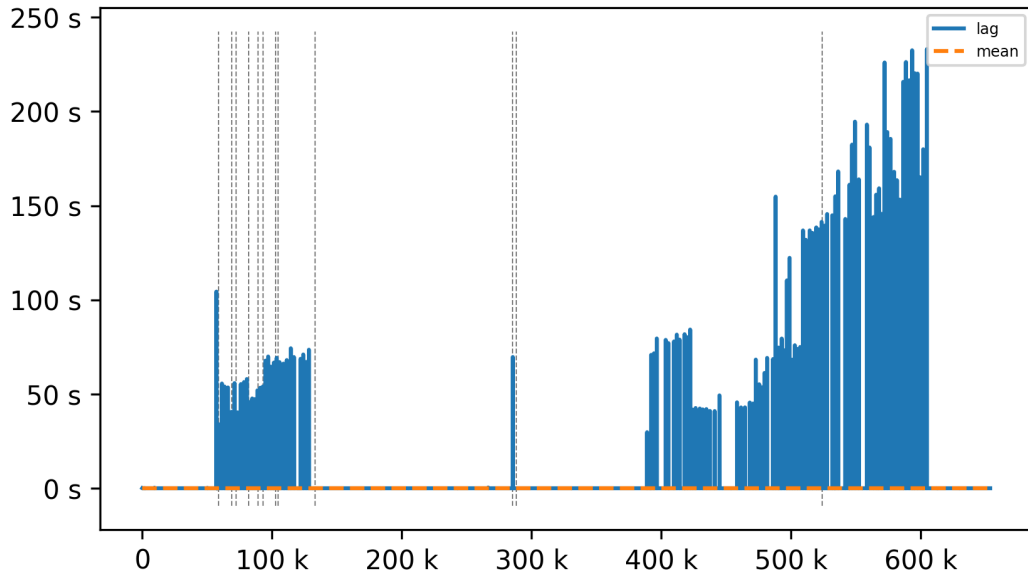


Tabela 6: Experimento *d-Distribuído*, M-FOG com 3 nós de 4 núcleos cada, Matriz de confusão, *Kyoto* Dez. 2015.

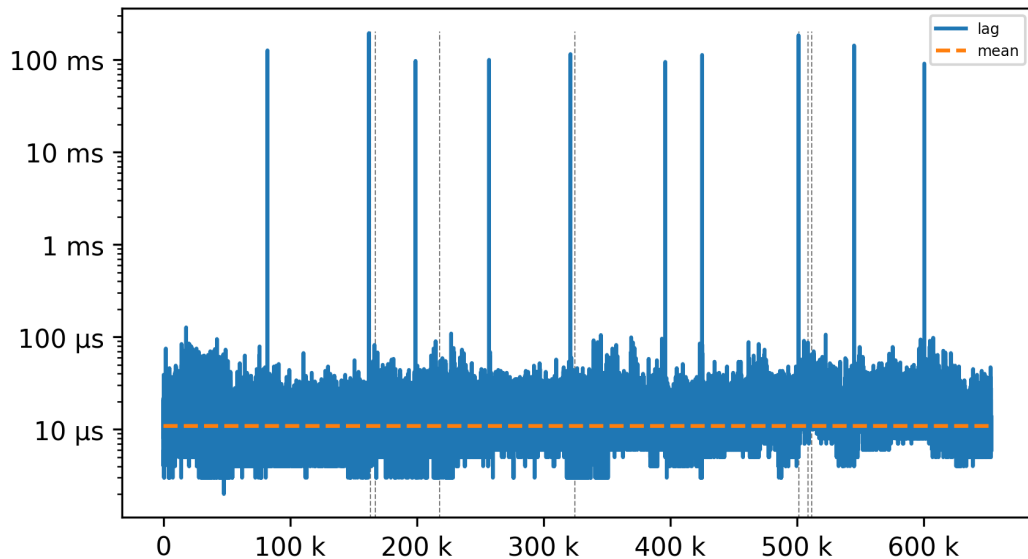
Rótulos	-	N	0	1	2	3	4
Classes							
A	12 378	433 631	117	886	0	162	5
N	3 121	202 916	40	96	105	0	0
Associação	-	N	A	A	N	A	A
Hits (<i>tp</i>)	0	202 916	117	886	105	162	5



Minas Ref. mk1.2 lag



Serial Online-ND lag



Cluster tmi lag

